

УДК: 541-145.4+541.18.04/.049 +541.572.7

С.А. Кузнецова, Л.Н. Мишенина, В.В. Козик

ФОРМИРОВАНИЕ ПЛЕНКООБРАЗУЮЩИХ АЦЕТИЛАЦЕТОНОВЫХ РАСТВОРОВ $\text{SnCl}_2 \cdot 2\text{H}_2\text{O}-\text{SbCl}_3$ и $\text{SnCl}_4-\text{SbCl}_3$

При получении тонкопленочных материалов из пленкообразующих растворов особое внимание уделяется выбору исходных компонентов [1, 2]. Известно, что в водно-спиртовом и водном растворителях необходимо использовать соли вступающие в реакцию гидролиза и поликонденсации, так как именно эти процессы приводят к достижению пленкообразующей способности раствора [2–4]. Поведение солей в неводных растворителях изучается многими исследователями [5, 6], но процессы, отвечающие за пленкообразующую способность неводных растворов, в литературе мало изучены. Настоящее исследование является продолжением работы [7], в которой показана возможность получения высокомоменных ($5 \cdot 10^3 \text{kOм}$), прозрачных в видимой области спектра ($T=92\%$) пленок $\text{SnO}_2-\text{Sb}_x\text{O}_y$ на стеклянных подложках из пленкообразующих ацетилацетоновых растворов на основе хлоридов олова(II),(IV) и сурьмы(III).

Цель данного исследования – изучение состава и процессов, протекающих в ацетилацетоновых растворах $\text{SnCl}_2 \cdot \text{H}_2\text{O}-\text{SbCl}_3$ и $\text{SnCl}_4-\text{SbCl}_3$, отвечающих за их пленкообразующую способность.

Растворы № 1, № 2 готовили из хлоридов олова(II, IV) и сурьмы(III) в ацетилацетоне (Насас). Плотность используемого Насас марки хч составляла $0,9721 \text{ г}/\text{см}^3$, диэлектрическая проницаемость – $25,7$. Хлорид олова(IV) (хч), хлорида сурьмы(III) (чда) брали безводными. Хлорид олова(II) – кристаллогидрат (чда). Концентрации компонентов в растворах составляли: № 1 – $C_{\text{SnCl}_2 \cdot 2\text{H}_2\text{O}} = 1,5 \cdot 10^{-2} - 6,0 \cdot 10^{-2}$ моль/л и $C_{\text{SbCl}_3} = 0,22 \cdot 10^{-2} - 1,80 \cdot 10^{-2}$ моль/л; № 2 – $C_{\text{SnCl}_4} = 3,0 \cdot 10^{-2} - 12,0 \cdot 10^{-2}$ моль/л и $C_{\text{SbCl}_3} = 0,22 \cdot 10^{-2} - 1,80 \cdot 10^{-2}$ моль/л. Процесс растворения проводили при 333 K в термостате с обратным холодильником до глубокого потемнения раствора. В этих условиях Насас по отношению к солям ведет себя не только как растворитель, но и как лиганд. Состав растворов исследовали методами ИК- и УФ-спектроскопии. Спектры поглощения растворов снимали после их выдерживания в течение 1 и 5 суток при комнатной температуре на спектрофотометре ИКС-29 в области $400 - 2000 \text{ см}^{-1}$ и на спектрофотометре СФ-20 в области волновых чисел $220 - 340 \text{ нм}$ относительно Насас. Сравнение частот колебаний проводили на основании литературных данных [8–10]. Изучение поведения растворенных веществ в неводных растворителях невозможно без оценки электростатических взаимодействий между молекулами растворителя и растворенным веществом [5]. Одним из основных источников сведений о межмолекулярных взаимодействиях в растворах является

вискозиметрическое исследование [11]. Вязкость растворов измеряли на вискозиметре ВПЖ-2 с диаметром капилляра $1,31 \text{ мм}$, при температуре 298 K . По ее изменению во времени судили о временных интервалах химических процессов, протекающих в растворе. Взаимодействие в растворе описали количественно с помощью уравнения Джонса-Дола [12] используя концентрационную зависимость вязкости разбавленных растворов:

$$\frac{\eta}{\eta_0} = 1 + A\sqrt{C} + BC$$

(η – вязкость раствора; η_0 – вязкость растворителя; C – молярная концентрация; A и B – константы для данного раствора). Константы A и B , входящие в это уравнение, позволяют оценить вклад взаимодействия растворителя с растворенными ионами (B), а также взаимодействия между ионами (A). Эти константы определяются экспериментально из графика зависимости левой части равенства уравнения Джонса-Дола, приведенного к линейному относительно \sqrt{C} виду

$$\left(\frac{\eta}{\eta_0} - 1 \right) \frac{1}{\sqrt{C}} = A + B\sqrt{C}.$$

Значение коэффициента A определяется в точке пересечения с осью ординат, а угол наклона прямой линии равен B .

Для сравнения изучали поведение $\text{SnCl}_2 \cdot 2\text{H}_2\text{O}$ в Насас, SnCl_4 в Насас и SbCl_3 в Насас. Данные растворы были приготовлены тех же концентраций, что и растворы № 1, № 2. Для них снимали ИК спектры и определяли константы уравнения Джонса-Дола.

Так как пленкообразующие растворы часто являются коллоидными, для исследуемых систем проводили электрофорез. Измерения проводили в U-образной трубке, с использованием платиновых электродов и источника тока 4 В.

Частоты колебаний характеристических групп в ИК спектрах Насас, растворов № 1 ($\text{SnCl}_2 \cdot 2\text{H}_2\text{O}-\text{SbCl}_3$ в Насас) и № 2 ($\text{SnCl}_4-\text{SbCl}_3$ в Насас) и растворов $\text{SnCl}_2 \cdot 2\text{H}_2\text{O}$ в Насас, SbCl_3 в Насас, SnCl_4 в Насас, выдержаных сутки при комнатной температуре, представлены в таблице.

Анализ ИК спектров указывает на наличие в них колебаний $\text{C}=\text{O}$ групп ($\nu = 1725 - 1683 \text{ см}^{-1}$) кетонной формы Насас, $\text{C}=\text{O}$ групп ($\nu = 1548 - 1520 \text{ см}^{-1}$) енольной недиссоциированной формы Насас и полосы колебаний $\text{C}=\text{O}$ групп енольной формы диссоциированного Насас хелатной структуры ($\nu = 1480 - 1500 \text{ см}^{-1}$). По сравнению с коле-

Отнесение основных частот колебаний характеристических групп в ИК области спектра Насас и растворов солей в Насас

Раствор/ Отнесение полос	Насас $\nu, \text{см}^{-1}$	SnCl_4 $\nu, \text{см}^{-1}$	SbCl_3 $\nu, \text{см}^{-1}$	$\text{SnCl}_2\text{v,c}$ M^{-1}	№ 1 SnCl_2- SbCl_3 $\nu, \text{см}^{-1}$	№ 2 SnCl_4 SbCl_3 $\nu, \text{см}^{-1}$
(OH) -дифф. енол	3000–2500	2680	—	2580	2675	2680
(C=O) кетон	1715	1725	1715	1725	1747, 1683	1754, 1683
(C=O) + (C=C) енол	1510	1540	1534	1548	1520	1516
(C=O) + (C=C) хелат	1480	—	1481	—	1493	1496
(C-OH) + (CH_3)	1380 1280 1310 1254	1364 1310 1300 1257	1365 1310 1300 1257	1361 1300 1362 1251	1400 1362 1251	1405 1362 1256
(C-O) + (C-C)	1194 925 1018 970 933	1173 1018 1019 976 934	1170 1019 966	1170 966	1174 966	1174 925
$\pi(\text{CH})$	810	807	806	798	792	799
Деформация кольца + (M-O)	658 539	666 564 553	673 563 546	668 545 510	575 549	580 549

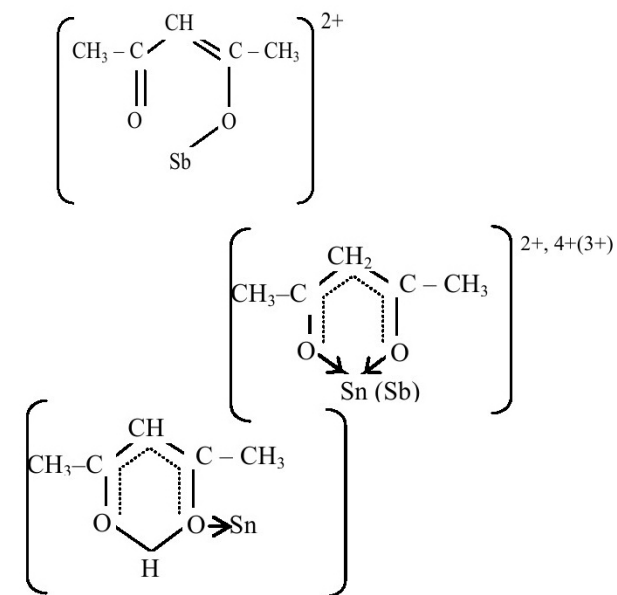
баниями данных групп в Насас наблюдается их смещение в высокочастотную область. В спектрах растворов солей также присутствуют колебания связей M–O (Sn–O и Sb–O). Это свидетельствует о комплексообразовании Насас с солями $\text{SnCl}_2\text{2H}_2\text{O}$, SnCl_4 и SbCl_3 через атом кислорода.

Отсутствие диффузионной полосы поглощения OH группы енольной формы ацетилацетона и наличие полосы колебания (C=O)+(C=C) хелата ($\nu = 1481 \text{ см}^{-1}$) в ацетилацетоновом растворе SbCl_3 указывают на образование комплексной частицы сурьмы с ацетилацетонат ионом. Так как в спектре этого раствора наблюдаются колебания кетонных групп ацетилацетона ($\nu = 1715 \text{ см}^{-1}$), ион Sb^{3+} связан с ацетилацетоном и кетонной формой. На основании этого, комплексную частицу в ацетилацетоновом растворе SbCl_3 можно представить как $[\text{Sb}(\text{acac})_n(\text{Насас})_m]^{(3-n)+}$.

В ИК-спектрах растворов $\text{SnCl}_2\text{2H}_2\text{O}$ в Насас и SnCl_4 в Насас присутствуют колебания диффузионных полос поглощения OH групп ($\nu = 2580; 2680 \text{ см}^{-1}$, соответственно), колебания кетонной и енольной форм ацетилацетона (таблица). Следовательно, ионы Sn^{4+} , Sn^{2+} в ацетилацетоновом растворе координируются недиссоциированной енольной и кетонной формами ацетилацетона с образование комплексных частиц $[\text{Sn}(\text{Насас})_x]^{2+(4+)}$.

В ИК-спектрах растворов № 1 и № 2 наблюдаются колебания связанныго ацетилацетона всех форм, но так как только сурьма образует комплексные частицы хелатной структуры с диссоциированным ацетилацетоном, то составы выше-

указанных растворов представляют собой комплексные соединения, где комплексные частицы имеют следующее строение:



Такое строение комплексных частиц в растворе подтверждается и спектрами поглощения исследуемых систем в УФ-области. Из рис.1 видно, что оба раствора № 1 и № 2 в УФ-области имеют один широкий максимум поглощения при длинах волн 270–275 нм и более выраженный максимум поглощения при 290 нм.

Согласно литературным данным [9, 10, 13], первая полоса поглощения вызвана $\pi-\pi^*$ переходом Насас и характеризует его кето-енольное рав-

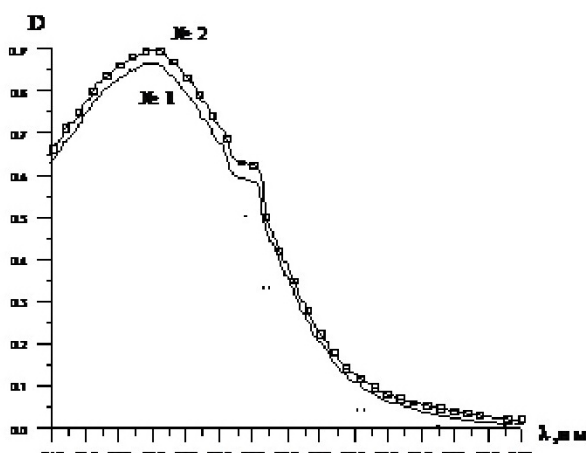


Рис. 1. Спектр поглощения растворов 1 и 2 в УФ-области

новесие с недиссоциированной енольной формой. Вторая полоса поглощения при 290 нм обусловлена $\pi-\pi^*$ переходом диссоциированной енольной формы ацетилацетона (acac^-). ИК-, УФ-спектры этих же растворов через 5 суток не изменяются. Однако вязкость растворов отличается, что свидетельствует о взаимодействии растворителя с растворенными веществами [2].

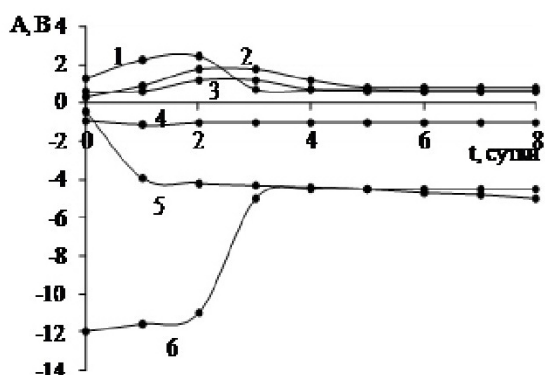


Рис. 3. Изменение констант A и B уравнения Джонса-Дола: константа A —1) SbCl_3 —Насас, 2) № 1, 3) $\text{SnCl}_2 \cdot 2\text{H}_2\text{O}$ —Насас; Константа B —4) $\text{SnCl}_2 \cdot 2\text{H}_2\text{O}$ —Насас, 5) № 1, 6) SbCl_3 —Насас

Ход кривых временных зависимостей вязкости всех исследуемых растворов разных концентраций для каждого из систем в рамках одной схож. Кривая вязкости раствора SbCl_3 —Насас (рис. 2, кривая 1) имеет один максимум на вторые сутки его выдерживания при комнатной температуре.

Далее происходит снижение вязкости и к 6–7 суткам её значение стабилизируется. Значения констант A и B (рис. 3), а также их изменение во времени, свидетельствуют о том, что рост вязкости обусловлен в большей степени электростатическим взаимодействием между комплексными

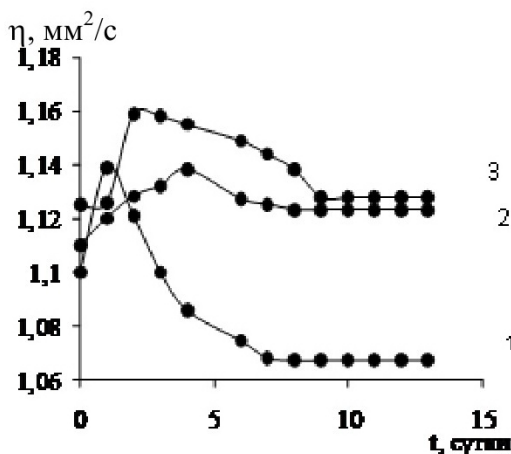


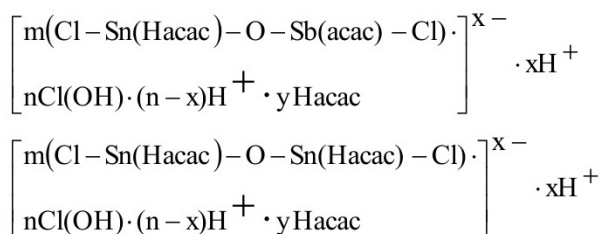
Рис. 2. Изменение вязкости ацетилацетоновых растворов во времени: 1— SbCl_3 ($C_{\text{Sb}}^{3+} = 0,045 \text{ моль/л}$), 2— $\text{SnCl}_2 \cdot 2\text{H}_2\text{O}$ ($C_{\text{Sn}}^{2+} = 0,03 \text{ моль/л}$), 3—№ 1 ($C_{\text{Sb}}^{3+} = 0,045 \text{ моль/л}$, $C_{\text{Sn}}^{2+} = 0,03 \text{ моль/л}$).

ионами, ионами хлора (кривая вязкости подобна кривой изменения константы A (рис. 3, кривая 1)).

Константа B (кривая 6) имеет отрицательное значение во всем временном интервале. Это указывает на то, что в растворе происходит разрушение структуры растворителя [12] под действием электрических полей ионов.

Кривая вязкости (рис. 2, кривая 2) раствора $\text{SnCl}_2 \cdot 2\text{H}_2\text{O}$ в Насас характеризуется одним максимумом. Согласно изменению значений констант A (рис. 3, кривая 3,), (константа B практически не изменяется во времени, кривая 4) процессы, протекающие в данной системе, подобны процессам в растворе SbCl_3 —Насас. Аналогичное наблюдается и в растворе № 1, где одновременно присутствуют $\text{SnCl}_2 \cdot 2\text{H}_2\text{O}$ и SbCl_3 (рис. 2, кривая 3; рис. 3, кривая 2). Однако значение константы A , по сравнению с раствором SbCl_3 —Насас, имеет меньшее значение, что свидетельствует о снижении электростатического взаимодействия ионов при добавлении SnCl_2 в раствор.

Следовательно, раствор № 1 формируется во времени за счет электростатического взаимодействия сольватированных ионов хлора, комплексных ионов $[\text{Sn}(\text{Насас})_x]^{2+}$, $[\text{Sb}(\text{acac})_n]^{(3-n)+}$ и приходит в состояние равновесия через 8 суток (вязкость к этому времени стабилизируется). По данным электрофореза этот раствор является коллоидным и состоит из отрицательно заряженных частиц, образование которых возможно и приводит к разрушению структуры растворителя. Так как исходная соль SnCl_2 в растворе № 1 водная, то комплексные частицы $[\text{Sn}(\text{Насас})_x]^{2+}$ с $[\text{Sb}(\text{acac})_n]^{(3-n)+}$ могут быть гидролизованы и участвовать в реакции поликонденсации. Исходя из этого, предположительный состав и строение мицелл можно записать следующим образом:



Данный раствор неустойчив во времени. При концентрации $SnCl_2 \cdot 2H_2O$ 0,12 моль/л на пятые сутки из него выпадает осадок белого цвета. Ход кривых изменения вязкости раствора $SnCl_4$ в Насас (рис.4, кривая 2) имеет не только максимум на 3 сутки, но и минимум на 1 сутки после его приготовления.

Кроме того, отличием данного раствора от вышеуказанных является то, что для него характерно положительное значение константы В (рис. 5, кривая 1), которое свидетельствует о большем вкладе в изменение вязкости совместного действия сольватации ионов и ориентационной поляризации Насас [12]. При этом возрастает эффективный размер сольватированного комплексного иона $[Sn(Hacac)]^{4+}$, что и приводит к росту вязкости. В сравнение с ионами Sn^{2+} ($r = 1,07\text{\AA}$) и Sb^{3+} ($r = 0,9\text{\AA}$) ион Sn^{4+} имеет больший заряд и меньший радиус ($r = 0,67 \text{\AA}$) и поэтому больше склонен к

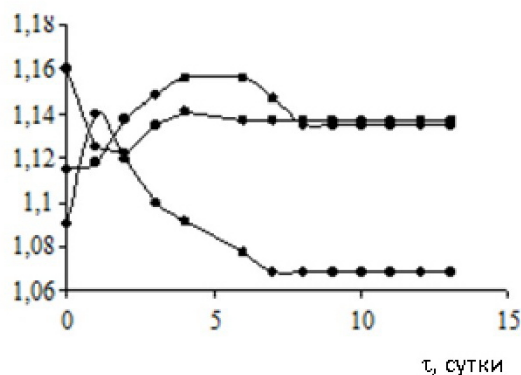


Рис. 4. Изменение вязкости ацетилацетоновых растворов во времени: 1 — $SbCl_3$ ($C_{Sb}^{3+} = 0,045$ моль/л), 2 — $SnCl_4$ ($C_{Sn}^{4+} = 0,03$ моль/л), 3 — № 2 ($C_{Sb}^{3+} = 0,045$ моль/л, $C_{Sn}^{4+} = 0,03$ моль/л).

сольватации [12].

Снижение же вязкости в первые сутки вероятно связано с уменьшением константы А (рис. 5, кривая 3). Далее она возрастает и стабилизируется в течение 5–6 суток. Исходя из вышесказанного, следует, что на начальном этапе (0–1 сутки) изме-

нение вязкости обусловлено ослаблением взаимодействия между растворёнными ионами, а дальнейший ее рост — ориентационной поляризацией растворителя. В растворе № 2 изменение вязкости (рис. 4, кривая 3) согласуется с изменением констант А и В (рис. 5, кривые 2, 4). При сравнении значений константы В данного раствора со значениями константы В раствора $SnCl_4$ в Насас видно, что в № 2 они отрицательные. Несмотря на высокую степень сольватации комплексных ионов Sn^{4+} , ионы $[Sb(acac)_n]^{(3-n)+}$ вызывают деполимеризацию молекул растворителя Насас. Максимальное значение константы А к 4 суткам согласуется с максимальным значением вязкости, её уменьшение также приводит к снижению вязкости раствора № 2. Однако, между 6–9 сутками происходит уменьшение константы А и рост константы В, вязкость же остаётся постоянной. Возможно, в данном случае деполимеризация Насас компенсируется взаимодействием растворенных ионов в растворе. По результатам электрофореза этот раствор не является коллоидным, он устойчив во времени.

Проведенные исследования показали, что пленкообразующая способность раствора на основе $SnCl_2 \cdot 2H_2O - SbCl_3$ достигается за счет процессов гидролиза, поликонденсации комплексных

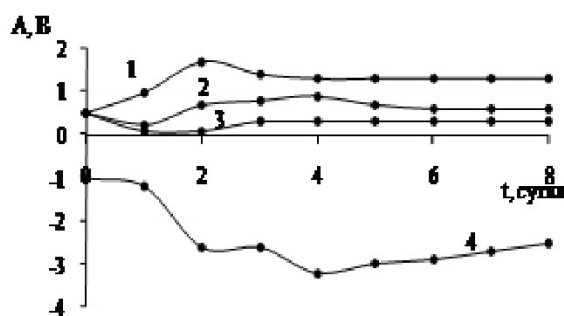


Рис.5. Изменение констант А и В уравнения Джонса-Доля: константа В — 1) $SnCl_4$ —Насас, 4) № 2; константа А — 2) № 2, 3) $SnCl_4$ —Насас.

частиц с образованием отрицательно заряженных частиц, которые со временем разрушаются. За пленкообразующую способность раствора на основе $SnCl_4 - SbCl_3$ отвечают процессы электростатического взаимодействия комплексных ионов и ионов хлора в растворе ацетилацетона.

СПИСОК ЛИТЕРАТУРЫ

1. Полифункциональные неорганические материалы на основе природных и искусственных соединений / Верещагин В.И. [и др.] – Томск: ТГУ, 2002. – С. 224–241.
2. Суйковская Н.В. Химические методы получения тонких прозрачных пленок. – Л.: «Химия», 1971. – 199 с.

3. *Kozik V.V., Khalipova O.S., Kuznetsova S.A., Ivanov V.K., and Academician Tret'yakov Yu.D.* Production of CeO₂ – SiO₂ Thin Composite Films // *Doklady Chemistry*, 2012. – Vol. 444, Part 1. – pp. 120–123..
4. *Гапоненко Н.В.* Синтез и оптические свойства пленок, сформированных золь-гель методом в мезопористых матрицах // *Журнал прикладной спектроскопии*, 2002. – Т. 69, № 1. – С. 5–21.
5. *Островицко Н.А., Калугине О.Н.* Вязкость растворов хлорида кальция и никеля в метаноле в интервале температур 25–55 °C // *Вісник Харківського національного університету*, 2005. – № 669, Хімія. Вип. 13(36). – С. 175–183.
6. *Бургер К.* Сольватация, ионные реакции и комплексообразование в неводных средах, М.: Мир, 1984. – 256 с.
7. *Кузнецова С.А., Малиновская Т.Д., Сачков В.И.* Влияние структуры комплексных частиц в пленкообразующем растворе на структуру и свойства пленок In₂O₃:Sn, SnO₂:Sb // *Известия ТПУ*, 2004. – Т. 307, № 2. – С. 105–108.
8. *Накамото К.* ИК-спектры и спектры КР неорганических и координационных соединений. М.: Мир, 1991. – 297 с.
9. *Казицина Л.А., Куплетская Н.Б.* Применение УФ-, ИК- и ЯМР-спектроскопии в органической химии. М.: Выш. Школа, 1971. – 241 с.
10. *Пешкова В.М., Мельчакова Н.В.* β-дикетоны. М.: Наука, 1986. – С. 23.
11. *Полуместная К.А., Федосова А.А., Бобрешиова О.В.* Оценка ион-ионных и ион-дипольных взаимодействий в кислых и щелочных растворах глицерина по величинам коэффициентов уравнения Джонса-Дола // *Сорбционные и хроматографические процессы*, 2008. – Т. 8, Вып. 1. – С. 123–128.
12. *Эрдей-Груз Т.* Явления переноса в водных растворах. М.: Мир, 1976. – 595 с.
13. Строение и тautомерные превращения дикарбонильных соединений / Нейланд О.Е. [и др].. Рига: Зинатне, 1991. – С. 171 – 174.

□Авторы статьи:

Кузнецова
Светлана Анатольевна,
к.х.н., доцент каф.неорганической
химии ТГУ
Email: onm@xf.tsu.ru

Мишенина
Людмила Николаевна,
сотр. каф. Неорганической
химии ТГУ .
Email:lnm@xf.tsu.ru

Козик
Владимир Васильевич,
д.т.н., профессор, зав.каф
неорганической химии ТГУ.
Email: vkozik@mail.ru